

doi: 10.13241/j.cnki.pmb.2015.02.009

## NUCB2/nesfatin-1 对小鼠摄食行为的调控及机制 \*

杨 茜<sup>1,2</sup> 胡沙沙<sup>1</sup> 孙向荣<sup>1</sup> 郭菲菲<sup>1</sup> 公衍玲<sup>3</sup> 祝 海<sup>4</sup> 逢明杰<sup>4</sup> 徐 璐<sup>1△</sup>

(1 青岛大学医学院病理生理学教研室 山东 青岛 266021;2 菏泽医学专科学校 山东 菏泽 274031;

3 青岛科技大学化工学院 山东 青岛 266042;4 青岛市立医院 山东 青岛 266011)

**摘要目的:**探讨 NUCB2/nesfatin-1 对小鼠摄食行为的调控及机制。**方法:**利用侧脑室埋管,免疫组化染色等方法,探讨侧脑室和外周注射 nesfatin-1 对小鼠摄食行为的影响。**结果:**侧脑室注射不同剂量 nesfatin-1 (0.3 μg, 1 μg, 3 μg),注药后 4 h 夜间进食量明显减少,且呈显著剂量依赖关系( $t=2.61\sim4.78, P<0.05\sim0.01$ ),侧脑室注射 3 μg nesfatin-1,小鼠前 3 小时累积摄食量明显降低( $t=8.69\sim10.73, P<0.01$ ),且持续降低 12 小时( $t=2.64, P<0.05$ ),同时餐间间隔时间明显延长( $t=2.66, P<0.05$ ),每分钟 /1-4 h 进食量明显降低 ( $t=2.63, P<0.05$ ),且进食每克食物所用时间明显增加 ( $t=3.02, P<0.05$ )。在下丘脑弓状核,外侧区和背内侧核均有 NUCB2/nesfatin-1 免疫阳性神经元表达。皮下或腹腔注射 nesfatin-1,小鼠进食量和进食行为均无显著改变( $P>0.05$ )。**结论:**中枢 nesfatin-1 可抑制小鼠摄食行为。

**关键词:**进食;下丘脑;小鼠;nesfatin-1;饱足

中图分类号:Q95-3;R589 文献标识码:A 文章编号:1673-6273(2015)02-236-05

## Regulatory Effect of NUCB2/nesfatin-1 on Feeding Behavior in Mice and the Potential Mechanism \*

YANG Qian<sup>1,2</sup>, HU Sha-sha<sup>1</sup>, SUN Xiang-rong<sup>1</sup>, GUO Fei-fei<sup>1</sup>, GONG Yan-ling<sup>3</sup>, ZHU Hai<sup>4</sup>, PANG Ming-jie<sup>4</sup>, XU Luo<sup>1△</sup>

(1 Department of Pathophysiology, Medical College of Qingdao University, Qingdao, Shandong, 266021, China;

2 Medical College of Heze, Heze, Shandong, 274031, China; 3 College of Chemical Engineering, Qingdao University of Science and Technology, Qingdao, Shandong, 266042, China; 4 Qingdao Municipal Hospital, Qingdao, Shandong, 266011, China)

**ABSTRACT Objective:** To investigate the regulatory effect of NUCB2/nesfatin-1 on feeding behavior in mice and the potential mechanism. **Methods:** Nesfatin-1 was injected intracerebroventricularly (icv) by lateral ventricle buried pipe and peripherally (intraperitoneal, i.p, subcutaneous, s.c) on mice. Nesfatin-1 immunostaining was performed. **Results:** Nesfatin-1 (0.3, 1 or 3 μg/mouse, icv) caused a dose-dependent reduction of 4-h dark phase food intake ( $t=2.61\sim4.78, P<0.05\sim0.01$ ). Nesfatin-1 (3 μg/mouse, icv) led to the reduction of 3-h cumulative food intake ( $t=8.69\sim10.73, P<0.01$ ) lasting for 12 h ( $t=2.64, P<0.05$ ), significantly increased inter-meal intervals ( $t=2.66, P<0.05$ ) and time spent in meals ( $t=3.02, P<0.05$ ) and significantly decreased meal size ( $t=2.63, P<0.05$ ). NUCB2/nesfatin-1-immunopositive neurons were found in the hypothalamic arcuate nucleus, lateral and dorsomedial hypothalamic nuclei. When injected peripherally, neither food intake nor any feeding microstructure parameters were altered. **Conclusion:** The central nesfatin-1 leads to a dose-dependent reduction of food intake in mice.

**Key words:** Food intake; Hypothalamus; Mouse; Nesfatin-1; Satiation

Chinese Library Classification(CLC):Q95-3; R589 Document code: A

Article ID:1673-6273(2015)02-236-05

### 前言

Nesfatin-1 是 Oh-I 等从大鼠下丘脑 NUCB2 基因中发现的<sup>[1]</sup>。禁食 24 h 的大鼠, PVN(室旁核)NUCB2/nesfatin-1 mRNA 表达显著降低<sup>[1]</sup>。侧脑室、第三或第四脑室注射 nesfatin-1,均可引起大鼠夜间进食量的减少<sup>[2,3]</sup>。但 nesfatin-1 对进食行为的改变机制仍不清楚。本研究拟采用脑室注射,探讨 nesfatin-1 对小鼠摄食行为的影响及机制。有研究表明,大鼠禁食 24 h 后胃 NUCB2 mRNA 和血浆 NUCB2/nesfatin-1 水平均显著降低<sup>[4]</sup>,

提示外周 nesfatin-1 可能有潜在调控进食作用。目前仅有的一项研究显示,腹腔注射 nesfatin-1 后可减少小鼠夜间进食<sup>[5]</sup>,而大鼠无此作用<sup>[4]</sup>。因此,本研究我们还比较给自由进食小鼠侧脑室、腹腔或皮下注射 nesfatin-1,观察小鼠夜间摄食及摄食行为的影响。

### 1 材料与方法

#### 1.1 动物分组

成年雄性昆明小鼠(6-8 周龄)48 只,随机分为 NS 对照组

\* 基金项目:国家自然科学基金项目(31071014,81100260,81270460,81300281);青岛市科技局项目(13-1-4-170-jch)

作者简介:杨茜(1982-),女,硕士研究生,主要研究方向:神经内分泌,电话:0532-82991713,

E-mail: yang\_qian1982@163.com

△通讯作者:徐璐,E-mail: xu.luo@163.com

(收稿日期:2014-05-20 接受日期 2014-06-12)

(16只)和实验组(32只)。小鼠在特定温度( $25\pm 2^{\circ}\text{C}$ )，24小时昼夜循环光照条件下生活，自由进食和水。

## 1.2 侧脑室埋管

经腹腔注射硫酸仲丁巴比妥( $100\sim 150\text{ mg/kg}$ )麻醉小鼠，参照小鼠脑立体定位图谱，将自制同心套管植入右侧脑室，并固定。术后5天进行实验。

## 1.3 进食实验

32只小鼠(每组8只)侧脑室分别注射 $1\mu\text{L}$  nesfatin-1( $0.3\mu\text{g}$ 、 $1\mu\text{g}$ 、 $3\mu\text{g}$ )或 $1\mu\text{L}$  NS，随之观察24 h 进食量。另取小鼠16只，分别腹腔注射 $100\mu\text{L}$  nesfatin-1( $70\mu\text{g}$ )或 $100\mu\text{L}$  NS，随之监测24 h 进食量。进食量=实验前食物量-实验后食物量。

## 1.4 免疫组化染色

小鼠经腹腔注射硫酸仲丁巴比妥( $100\sim 150\text{ mg/kg}$ )麻醉， $4\%$ 多聚甲醛经心灌注，取脑、后固定。将脑置于 $10\%$ 蔗糖24 h，冰冻切片机切片。切片经含 nesfatin-1 抗体(1:200，美国Phoenix公司)的孵育液中孵育过夜( $4^{\circ}\text{C}$ )，PBS缓冲液洗涤后，

切片用生物素羊抗兔 IgG(1:500，美国 Phoenix 公司)室温孵育1 h，DAB 显色。切片经梯度乙醇和二甲苯脱水，封片。光镜下观察结果。对照组以正常兔血清代替一抗，其他步骤同上。

## 1.5 统计学分析

所有数据用均数 $\pm$  标准差( $\bar{x}\pm s$ )表示，用 GraphPad Prism 3.0 软件分析，两组间比较采用 t 检验， $P<0.05$  有统计学意义。

## 2 结果

### 2.1 侧脑室注射 nesfatin-1 对小鼠摄食的影响

与 NS 对照组相比，侧脑室注射不同剂量 nesfatin-1 ( $0.3\mu\text{g}$ 、 $1\mu\text{g}$ 、 $3\mu\text{g}$ )，小鼠注药后前4 h 的夜间进食量明显减少，且呈显著剂量依赖关系；与 NS 对照组比较，注射 $1\mu\text{g}$  和  $3\mu\text{g}$  组差异有统计学意义( $t=2.61\sim 4.78$ ,  $P<0.05\sim 0.01$ , 图 1A)。与注射 NS 对照组相比，侧脑室注射 $3\mu\text{g}$  nesfatin-1，抑制小鼠进食主要发生在注射后的2-3 h ( $t=17.0$ ,  $P < 0.01$ ，图 1B) 和 3-4 h ( $t=11.6$ ,  $P < 0.01$  图 1B)。

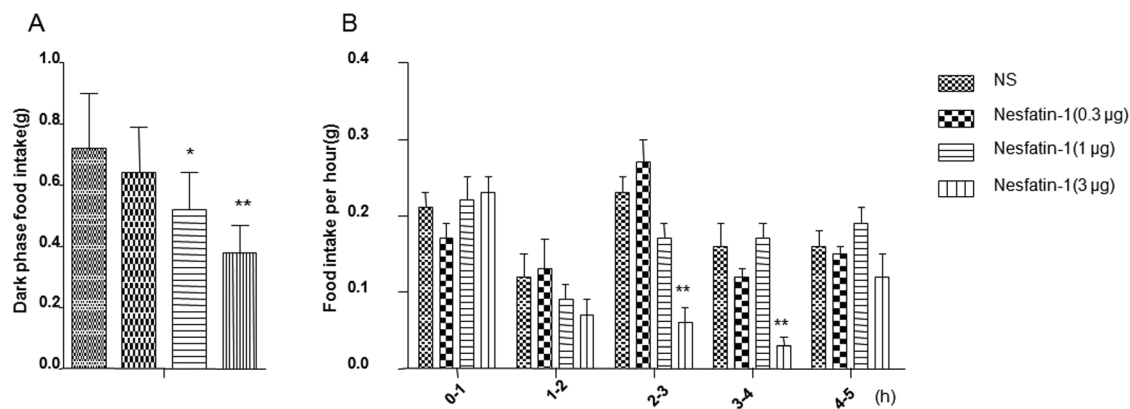


图 1 侧脑室注射 nesfatin-1 对小鼠摄食的影响

Fig.1 The effect of different dose of nesfatin-1 on food intake in ad libitum fed mice

注：(A) 侧脑室注射后前4h 夜间进食量；(B) 侧脑室注射后每小时进食量，

\*  $P < 0.05$ , \*\*  $P < 0.01$ , 与 NS 对照组相比。

Notes: (A) Dark food intake was assessed for the first 4 h post icv injection; (B) food intake per hour post icv injection,

\*  $P < 0.05$ , \*\*  $P < 0.01$  vs. NS control group.

因为侧脑室注射 $3\mu\text{g}$  nesfatin-1 可引起小鼠摄食量改变，因此之后我们仅对该剂量进行了累积摄食量研究。与 NS 对照组相比，侧脑室注射 $3\mu\text{g}$  nesfatin-1，小鼠前3小时累积摄食量开始明显降低( $t=4.69\sim 5.73$ ,  $P<0.01$ ; Fig. 2A)，一直持续到12小时( $t=2.64$ ,  $P<0.05$ ; Fig. 2B)。但如果阶段性观察小鼠摄食量，与 NS 对照组比较，侧脑室注射 $3\mu\text{g}$  nesfatin-1，只见0-4小时区间的摄食量明显减少( $t=5.74$ ,  $P<0.01$ ; Fig. 2C)，而其他区间无显著改变( $P>0.05$ ; Fig. 2C)。

上述结果显示，侧脑室注射 $3\mu\text{g}$  nesfatin-1 后1-4h的小鼠摄食量明显减少，因此，我们又进一步分析了小鼠进食行为变化。结果显示，侧脑室注射 $3\mu\text{g}$  nesfatin-1 后，小鼠进食次数明显降低( $t=3.43$ ,  $P<0.01$ ；表 1)，进食量也明显减少( $t=2.84$ ,  $P<0.05$ )；但小鼠每次进餐持续时间( $t=1.45$ ,  $P>0.05$ )，1-4 h 的总进食时间( $t=1.74$ ,  $P>0.05$ )以及每次进食时间的百分率( $t=1.74$ ,  $P>0.05$ )均无显著变化。与侧脑室注射 NS 组相比，侧脑室注射 $3\mu\text{g}$  nesfatin-1，小鼠餐间隔时间明显延长( $t=2.66$ ,  $P<0.05$ )，每

分钟/1-4 h 的进食量明显降低( $t=2.63$ ,  $P<0.05$ )，且进食每克食物所用时间明显增加( $t=3.02$ ,  $P<0.05$ )。但侧脑室注射 nesfatin-1 后的反应不是立即发生的，我们发现，小鼠第一餐延迟时间无显著改变( $t=1.45$ ,  $P>0.05$ ；表 1)，第一餐持续时间也无显著变化( $t=1.20$ ,  $P>0.05$ )，第一餐进食速度也变化不明显( $t=1.44$ ,  $P>0.05$ )。

### 2.2 小鼠下丘脑 nesfatin-1 的表达

免疫组化显示，弓状核(Arc, Fig. 3A)的腹内侧和背外侧区、下丘脑外侧区(LHA, Fig. 3B)和下丘脑背内侧核(DMH, Fig. 3C)均有 NUCB2/nestin-1 免疫阳性神经元表达。

### 2.3 腹腔注射或皮下注射 nesfatin-1 对小鼠进食的影响

表 2 显示，与侧脑室注射不同，与 NS 对照组相比，给小鼠腹腔注射 $70\mu\text{g}/100\mu\text{L}$  nesfatin-1，小鼠24 h 内进食量无显著变化( $t=1.09$ ,  $P>0.05$ ，表 2)。同样，皮下注射 nesfatin-1( $70\mu\text{g}/100\mu\text{L}$ )，小鼠进食量也无显著改变( $t=1.02$ ,  $P>0.05$ ，表 2)。在此期间，小鼠每小时食物摄入量也无显著变化( $t=0.72$ ,  $P>$

0.05,表2),且腹腔或皮下注射 nesfatin-1 与 NS 对照组相比,小鼠进食行为也无明显变化( $t=1.12, P>0.05$ ,表2)。

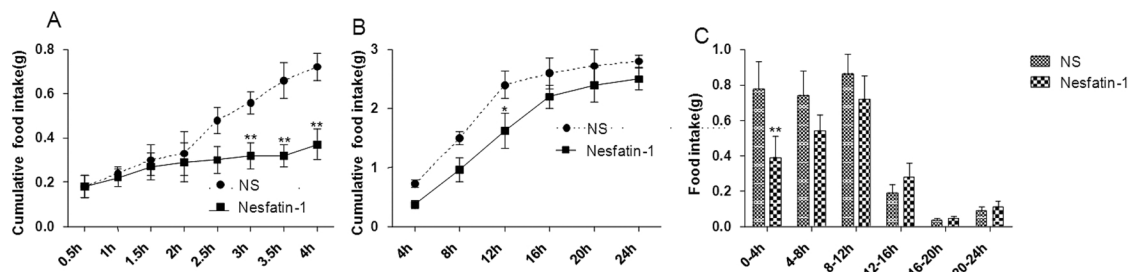


图2 侧脑室注射 nesfatin-1 对小鼠累积进食能量的影响

Fig.2 The effect of nesfatin-1 injected intracerebroventricularly on cumulative food intake in ad libitum fed mice

注:(A,B)侧脑室注射 nesfatin-1 对小鼠累积进食能量的影响;(C)侧脑室注射 nesfatin-1 对小鼠每 4 小时进食能量的影响 \* $P<0.05$ , \*\* $P<0.01$ , 与 NS 对照组相比。

Note: (A, B) The effect of nesfatin-1 injected intracerebroventricularly on cumulative food intake in ad libitum fed mice; (C) The effect of nesfatin-1 injected intracerebroventricularly on food intake/4-h periods in ad libitum fed mice.\* $P<0.05$ , \*\* $P<0.01$  vs. NS control group.

表1 侧脑室注射 nesfatin-1 对小鼠摄食行为的影响(± s)

Table 1 The effect of nesfatin-1 injected intracerebroventricularly on feeding behavior in ad libitum fed mice (± s)

Group	NS	Nesfatin-1
Meal frequency (number/4 h)	3.68± 1.02	1.89± 0.12 **
Bout frequency (number/4h)	13.8± 3.2	12.1± 1.6
Meal size (g/meal)	0.14± 0.02	0.08± 0.02 *
Meal duration(min/meal)	12.5± 2.64	13.2± 1.78 *
Total meal time(min/4 h)	41.5± 9.23	28.5± 7.69
Time spent in meals (min/4 h)	24.6± 6.54	14.8± 3.35**
Inter-meal interval (min)	24.8± 7.64	46.9± 9.64 *
Eating rate(mg/min)	2.21± 0.12	1.12± 0.09
Satiety ratio (%)	220± 63	860± 98
Latency to 1 <sup>st</sup> meal(min)	19.1± 1.5	22.7± 1.8
Duration 1 <sup>st</sup> meal(min)	23.5± 5.1	24.0± 4.7
Eating rate1 <sup>st</sup> meal(mg/min)	5.8± 0.9	4.2± 1.0

注:\* $P<0.05$ ; \*\* $P<0.01$ , 与 NS 对照组相比。

Notes: \* $P<0.05$ , \*\* $P<0.01$  vs. NS control group.

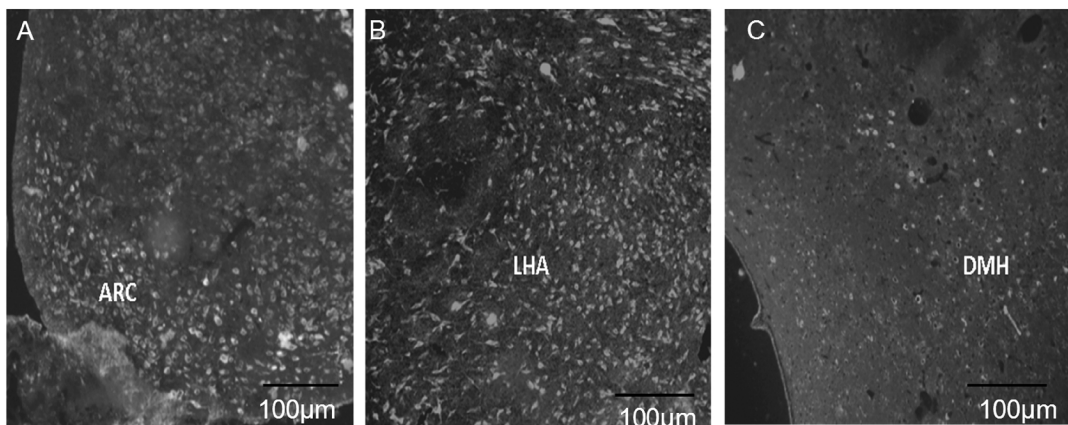


图3 下丘脑 NUCB2/nestin-1 免疫阳性细胞表达

Fig.3 Representative microphotographs of NUCB2/nestin-1-immunoreactive cells in hypothalamic sections of naïve mice.

注:(A)弓状核,(B)下丘脑外侧区,(C)下丘脑背内侧核 bar=100 μm。

Notes: (A) ARC, (B) LHA, (C) DMH Bar=100 μm.

表 2 腹腔注射或皮下注射 nesfatin-1 对小鼠摄食的影响( $\mu\text{g}, \bar{x} \pm s$ )  
Table 2 The effect of nesfatin-1 injected ip or sc on food intake in ad libitum fed mice ( $\mu\text{g}, \bar{x} \pm s$ )

Group	Intraperitoneal injection		Subcutaneous injection	
	NS	Nesfatin-1	NS	Nesfatin-1
0-1h(g)	0.35± 0.18	0.37± 0.09	0.24± 0.04	0.19± 0.06
1-2h(g)	0.17± 0.10	0.24± 0.08	0.28± 0.05	0.29± 0.05
2-3h(g)	0.18± 0.05	0.24± 0.06	0.30± 0.07	0.20± 0.04
3-4h(g)	0.15± 0.02	0.19± 0.09	0.22± 0.03	0.16± 0.05
Meal frequency (number/4h)	5.5 ± 0.6	5.7 ± 1.0	6.1 ± 0.5	0.2 ± 0.0
Bout frequency (number/4h)	31.8 ± 8.7	39.2 ± 5.8	6.3 ± 0.5	0.2 ± 0.0
Meal size (g/meal)	0.2 ± 0.0	0.2 ± 0.0	20.9 ± 3.1	18.5 ± 2.9
Meal duration (min/meal)	26.9 ± 8.2	27.2 ± 2.8	28.6 ± 4.4	22.8 ± 5.6
Total meal time (min/4h)	116.0 ± 26.5	140.0 ± 12.7	107.4 ± 11.9	24.6 ± 2.9
Time spent in meals (min/4h)	48.3 ± 11.0	58.3 ± 5.3	111.3 ± 6.5	21.1 ± 2.5
Inter-meal interval (min)	22.1 ± 4.9	19.7 ± 3.7	44.8 ± 5.0	5.5 ± 1.1
Latency to 1stmeal (min)	23.1 ± 10.7	15.1 ± 6.4	53.1 ± 7.1	4.5 ± 0.4
Duration 1st meal (min)	14.9 ± 4.5	15.1 ± 4.8	9.3 ± 3.3	10.6 ± 1.9
Eating rate 1st meal (mg/min)	4.3 ± 1.7	4.1 ± 0.6	4.5 ± 1.1	2.9 ± 0.5
Eating rate/4h (mg/min)	3.9 ± 0.4	4.5 ± 0.5	4.1 ± 0.2	4.3 ± 0.3

### 3 讨论

本研究显示, 自由进食小鼠侧脑室注射 nesfatin-1 可显著减少夜间摄食量, 且呈现剂量依赖性。注射后第一个 2 h, nesfatin-1 厌食作用不明显, 注射后第二个 2 h, 小鼠摄食量明显减少, 之后摄食又恢复到正常水平。故侧脑室注射后 2-4 h nesfatin-1 作用达到高峰。且小鼠 12 h 夜间累积摄食量显著减少, 可能是侧脑室注射 nesfatin-1 后厌食作用所致<sup>[2]</sup>。有研究报道侧脑室注射 nesfatin-1 2-3 h 后, 长期插管大鼠夜间进食减少可达 87%, 且作用可持续 6 h<sup>[4]</sup>。有研究<sup>[4]</sup>应用小鼠 nesfatin-1 通过质谱分析, 证实 nesfatin-1 质量为 9.61 kDa。Nesfatin-1 作用与其种属差异无关, 应激刺激可能会影响 nesfatin-1 的活性和稳定性。

本研究发现小鼠侧脑室注射 nesfatin-1 后食欲减退, 表现为进食量和进食次数减少, 进食间隔增加, 且可增加饱腹感。推测 nesfatin-1 所致饱腹感可能使小鼠摄食减少<sup>[6]</sup>。而腹腔或皮下注射 nesfatin-1 不影响小鼠夜间摄食, 提示, nesfatin-1 饱食作用主要是激活了中枢摄食环路, 从而增加了肠道中的饱食肽<sup>[7]</sup>。弧束核 nesfatin-1 表达较多<sup>[16]</sup>, 可能是内源性 nesfatin-1 的主要作用部位。有研究报道侧脑室注射 nesfatin-1 导致摄食减少可能是通过 CRF2 受体信号通路介导, 故选择性 CRF2 拮抗剂 astressin2-B 可阻断 nesfatin-1 厌食作用<sup>[4]</sup>, 而选择性 CRF2 激动剂 urocortin 3 作用可能与 nesfatin-1 相似。Urocortin 3 和 nesfatin-1 均具有中枢延迟作用, 厌食作用均发生于注射后 3-4 h<sup>[8]</sup>。侧脑室注射 urocortin 3 后进食次数也显著减少, 进食间隔增

加, 高剂量可减少进食量, 增加饱足感<sup>[19]</sup>。提示, 侧脑室注射 nesfatin-1 摄食调节作用可能与下游 CRF2 信号通路有关, 但这种作用机制仍需进一步研究。

Nesfatin-1 抑制摄食的中枢部位在小鼠 PVN 和脑干<sup>[24]</sup>。应用 <sup>125</sup>I-nesfatin-1 研究表明, nesfatin-1 主要表达于小鼠的下丘脑<sup>[9]</sup>。后来研究发现 NUCB2/nesfatin-1 神经元在下丘脑摄食相关核团如 PVN, Arc, LH 以及脑干(背侧迷走神经复合体)等均有分布<sup>[10]</sup>。Nesfatin-1/NUCB2 神经元的编码可能与下丘脑中  $\alpha$ -黑色素细胞刺激素、抗利尿激素、生长激素释放激素、CRF、生长抑素及 NPY 等类似<sup>[3,11,17]</sup>。小鼠 NUCB2/nesfatin-1 的特异性可通过抗 nesfatin-1 抗体和 NUCB2/nesfatin-1 免疫标志来表现。通过 Western Blot 中 10 kDa 环和对应 NUCB2<sup>[4]</sup>的 50 kDa 环可识别 nesfatin-1。

外周也有 NUCB2/nesfatin-1 表达, 包括大鼠<sup>[11]</sup>和小鼠<sup>[11,18]</sup>肠道、胃和胰腺的内分泌细胞及大鼠的脂肪组织<sup>[14]</sup>。大鼠进食状态也可调控循环 NUCB2/nesfatin-1 水平<sup>[15]</sup>。静脉注射 nesfatin-1 可通透血脑屏障<sup>[14]</sup>, 且具有不饱和性。有研究表明大鼠腹腔注射 nesfatin-1 不影响进食量<sup>[4]</sup>, 而另一项研究则称自由进食小鼠腹腔注射 nesfatin-1<sup>[15]</sup>, 3 h 夜间累积进食量明显减少。本研究证实自由进食小鼠腹腔或皮下注射高剂量 nesfatin-1, 小鼠夜间进食量无明显改变。提示, nesfatin-1 外周作用不明显。

总之, 侧脑室注射 nesfatin-1 可剂量依赖性的减少自由进食小鼠摄食, 与 nesfatin-1 增加饱腹感相关, 可能通过下游 CRF2 信号通路介导。外周注射 nesfatin-1 则不影响小鼠夜间摄食行为, 这种差异有待进一步研究证实。

## 参考文献(References)

- [1] Oh-I S, Shimizu H, Satoh T, et al. Identification of nesfatin-1 as a satiety molecule in the hypothalamus [J]. *Nature*, 2006, 443 (7112): 709-712
- [2] Maejima Y, Sedbazar U, Suyama S, et al. Nesfatin-1-regulated oxytocinergic signaling in the paraventricular nucleus causes anorexia through a leptin-independent melanocortin pathway [J]. *Cell Metab*, 2009, 10(5): 355-365
- [3] Stengel A, Coskun T, Goebel M, et al. Central injection of the stable somatostatin analog, ODT8-SST induces a somatostatin2 receptor mediated orexigenic effect: role of neuropeptide Y and opioid signaling pathways in rats [J]. *Endocrinology*, 2010, 151 (9): 4224-4235
- [4] Stengel A, Goebel M, Yakubov I, et al. Identification and characterization of nesfatin-1 immunoreactivity in endocrine cell types of the rat gastric oxytic mucosa [J]. *Endocrinology*, 2009, 150 (1): 232-238
- [5] Shimizu H, Oh-I S, Hashimoto K, et al. Peripheral Administration of Nesfatin-1 Reduces Food Intake in Mice: The leptin-independent mechanism[J]. *Endocrinology*, 2009, 150(2): 662-671
- [6] Wernecke K, Lamprecht I, Jähren O, et al. Nesfatin-1 increases energy expenditure and reduces food intake in rats [J]. *Obesity*, 2014, 111: 128-141
- [7] Woods SC. Gastrointestinal satiety signals I An overview of gastrointestinal signals that influence food intake [J]. *Am J Physiol Gastrointest Liver Physiol*, 2004, 286(1): G7-13
- [8] Fekete EM, Inoue K, Zhao Y, et al. Delayed satiety-like actions and altered feeding microstructure by a selective type 2 corticotropin-releasing factor agonist in rats: intra-hypothalamic urocortin 3 administration reduces food intake by prolonging the post-mealinterval[J]. *Neuropharmacology*, 2007, 52(5): 1052-1068
- [9] Lents CA, Barb CR, Hausman GJ, et al. Effects of nesfatin-1 on food intake and LH secretion in prepubertal gilts and genomic association of the porcine NUCB2 gene with growth traits [J]. *Domest Anim Endocrinol*, 2013, 45(2): 89-97
- [10] Sedbazar U, Maejima Y, Nakata M, et al. Paraventricular NUCB2/nestatin-1 rises in synchrony with feeding suppression during early light phase in rats [J]. *Biochem Biophys Res Commun*, 2013, 434(3): 434-438
- [11] Williams G, Harrold JA, Cutler DJ. The hypothalamus and the regulation of energy homeostasis: lifting the lid on a black box [J]. *Proc Nutr Soc*, 2000, 59(3): 385-396
- [12] Gonzalez R, Tiwari A, Unniappan S. Pancreatic beta cells colocalize insulin and pronesfatin immunoreactivity in rodents [J]. *Biochem Biophys Res Commun*, 2009, 381(4): 643-648
- [13] Kohno D, Nakata M, Maejima Y, et al. Nesfatin-1 neurons in paraventricular and supraoptic nuclei of the rat hypothalamus coexpress oxytocin and vasopressin and are activated by refeeding[J]. *Endocrinology*, 2008, 149(3): 1295-1301
- [14] Zhang AQ, Li XL, Jiang CY, et al. Expression of nesfatin-1/NUCB2 in rodent digestive system [J]. *World J Gastroenterol*, 2010, 16(14): 1735-1741
- [15] Ramanjaneya M, CHEN J, Brown JE, et al. Identification of nesfatin-1 in human and murine adipose tissue: a novel depot-specific adipokine with increased levels in obesity [J]. *Endocrinology*, 2010, 151(7): 3169-3180
- [16] Bonnet MS, Ouelaa W, Tillement V, et al. Gastric distension activates NUCB2/nestatin-1-expressing neurons in the nucleus of the solitary tract[J]. *Regul Pept*, 2013, 187: 17-23
- [17] Osaki A, Shimizu H, Ishizuka N, et al. Enhanced expression of nesfatin/nucleobindin-2 in white adipose tissue of ventromedial hypothalamus-lesioned rats[J]. *Neurosci Lett*, 2012, 521(1): 46-51
- [18] Mimee A, Ferguson AV. Cellular actions of nesfatin-1 on hypothalamic and medullary neurons[J]. *Curr Pharm Des*, 2013, 19(39): 6949-6954
- [19] Gaigé S, Bonnet MS, Tardivel C, et al. c-Fos immunoreactivity in the pig brain following deoxynivalenol intoxication: focus on NUCB2/nestatin-1-expressing neurons[J]. *Neurotoxicology*, 2013, 34: 135-149

(上接第 235 页)

- [16] Motovska Z, Widimsky P, Kvasnicka J, et al. High loading dose of clopidogrel is unable to satisfactorily inhibit platelet reactivity in patients with glycoprotein IIIA gene polymorphism: a genetic substudy of PRAGUE-8 trial[J]. *Blood Coagul Fibrinolysis*, 2009, 20 (4): 257-262
- [17] Fontana P, Dupont A, Gandrille S, et al. Adenosine diphosphate-induced platelet aggregation is associated with P2Y12 gene sequence variations in healthy subjects [J]. *Circulation*, 2003, 108(8): 989-995
- [18] Flynn RW, MacDonald TM, Murray GD, et al. Persistence, adherence and outcomes with antiplatelet regimens following cerebral infarction in the Tayside Stroke Cohort [J]. *Cerebrovasc Dis*, 2012, 33 (2): 190-197
- [19] Fontana P, Gaussen P, Haiach M. P2Y (12)H2 haplotype is associated with peripheral arterial disease: A case controlled study[J]. *Journal of Vascular Surgery*, 2004, 39(6): 1356-1356
- [20] Chen H, Xue LX, Guo Y, et al. The influence of hemocoagulation disorders on the development of posttraumatic cerebral infarction and outcome in patients with moderate or severe head trauma [J]. *Biomed Res Int*, 2013, 2013: 685174
- [21] Matsumoto H, Kohno K. Posttraumatic cerebral infarction due to progressive occlusion of the internal carotid artery after minor head injury in childhood: a case report [J]. *Childs Nerv Syst*, 2011, 27(7): 1169-75
- [22] Latronico N, Marino R. Posttraumatic cerebral infarction (PTCI) in patients with severe head trauma[J]. *J Trauma*, 2009, 66(6): 1745-1746
- [23] Kim BJ, Choi JI, Ha SK, et al. Hidden Dense Middle Cerebral Artery Sign in a 4-Year-Old Boy With Traumatic Subarachnoid Hemorrhage [J]. *J Child Neurol*, 2013[Epublish ahead of print]